

## ПРО РОЗПОДІЛ ФУНКЦІОНАЛІВ СУБОРДИНАТОРА

УДК 519.21

Д. В. ГУСАК

**Анотація.** Для немонотонних процесів з незалежними приростами (н.п.) розподіли граничних функціоналів досліджувались у роботах багатьох авторів (див., наприклад, [1–6]). Якщо обмежитись процесами з обмеженою варіацією зі знесенням  $a \geq 0$ , то з наших результатів, одержаних в [4–5], легко виводяться співвідношення для розподілу функціоналів субординатора (процесу з незалежними і додатними приростами, див. [3, р. III]).

**ABSTRACT.** Distributions of boundary functionals for processes with stationary independent increments are studied by many authors (see, e.g., [1–6]). If we restrict ourselves to the processes with a bounded variation and with the drift  $a \geq 0$  then from our results in [4–5] it is easy to deduce the relations defining distributions of functionals for a subordinator (process with positive and independent increments, see [3, Ch. III]).

**Аннотация.** Для немонотонных процессов с независимыми приращениями распределения граничных функционалов исследовались в работах многих авторов (см., например, [1–6]). Если ограничиться процессами с ограниченной вариацией и  $a \geq 0$ , то из результатов, полученных в [4–5], легко выводятся соотношения для распределения функционалов субординатора (процесса с независимыми и положительными приращениями, см. [3, р. III]).

Нехай  $\xi(t)$  — однорідний процес з н.п., з обмеженою варіацією і кумулянтою

$$\begin{aligned} \psi(\alpha) := \ln \mathbb{E} e^{i\alpha\xi(1)} &= i\alpha a + \int_{-\infty}^{\infty} (e^{i\alpha x} - 1) \Pi(dx) \Big|_{\alpha=iu} = k(u), \\ &\int_{|x|\leq 1} |x| \Pi(dx) < \infty, \quad -\infty < a < \infty. \end{aligned} \tag{1}$$

Якщо знесення  $a \geq 0$ ,  $\Pi(x) = \lambda_1 e^{bx}$ ,  $x < 0$ ,  $b > 0$ ,  $\lambda_1 = \int_{-\infty}^0 \Pi(dx) < \infty$ , тоді  $\xi(t)$  назовемо майже напівнеперервним знизу процесом,

$$\psi(\alpha) = i\alpha a + \lambda_1 \left( \frac{b}{b+i\alpha} - 1 \right) + \int_0^\infty (e^{i\alpha x} - 1) \Pi(dx). \tag{2}$$

(Неперервним знизу процесом називається немонотонний процес  $\xi(t)$ , для якого  $\Pi(A) = 0$ , якщо  $A \in (-\infty, 0)$ ).

За означенням в [3] (див. р. III) процес  $\xi(t)$  з додатними і незалежними приростами називається субординатором. Його характеристична функція (х.ф.) як і генераторика визначаються кумулянтою

$$\psi(\alpha) = i\alpha a + \int_0^\infty (e^{i\alpha x} - 1) \Pi(dx), \quad \int_0^1 x \Pi(dx) < \infty, \quad a > 0. \tag{3}$$

---

2000 Mathematics Subject Classification. Primary 60G50; Secondary 60K10.

Ключові слова і фрази. Processes with stationary independent increments, subordinator, cumulant and potential of processes and subordinator.

Введемо позначення функціоналів для  $\xi(t)$  і деяких розподілів

$$\begin{aligned} \xi^\pm(t) &= \sup_{0 \leq t' \leq t} (\inf) \xi(t'), \quad \xi^\pm = \sup_{0 \leq t < \infty} (\inf) \xi(t); \\ \tau^\pm(x) &= \inf\{t > 0 : \xi(t) \gtrless x\}, \quad \pm x \geq 0; \\ \gamma^+(x) &= \xi(\tau^+(x)) - x; \quad \gamma_+(x) = x - \xi(\tau^+(x) - 0), \quad x > 0; \\ \gamma_x^+ &= \xi(\tau^+(x)) - \xi(\tau^+(x) - 0) = \gamma^+(x) + \gamma_+(x); \\ \theta_s &: \mathbb{P}\{\theta_s > t\} = e^{-st}, \quad s, t > 0; \\ P(s, x) &= \mathbb{P}\{\xi(\theta_s) < x\}, \quad x \in R^1; \quad \bar{P}(s, x) = 1 - P(s, x), \quad x \geq 0; \\ P_\pm(s, x) &= \mathbb{P}\{\xi^\pm(\theta_s) < x\}; \quad \pm x \geq 0; \quad \bar{P}_\pm(s, x) = 1 - P_\pm(s, x), \quad x \geq 0. \end{aligned}$$

Згідно з наслідком 1 в [4] (або наслідком 2.2 в [5]) має місце

**Лема 1.** Для процесу  $\xi(t)$  з кумулянтою (1) справедливе спiввiдношенням

$$\mathbb{P}\{\gamma^+(x) = 0, \xi^+(\theta_s) > x\} = C_*(s) \frac{\partial}{\partial x} P_+(s, x), \quad x > 0; \quad (4)$$

$$C_*(s) = [a]^+ s^{-1} p_-(s), \quad p_-(s) = \mathbb{P}\{\xi^-(\theta_s) = 0\}. \quad (5)$$

Якщо  $m = \mathbb{E}\xi(1) < 0$ , тоді  $\lim_{s \rightarrow 0} \bar{P}_+(s, x) = \mathbb{P}\{\xi^+ > x\} < 1$ . Тому згiдно з (4) при  $m < 0$  i  $s \rightarrow 0$

$$\begin{aligned} \lim_{s \rightarrow 0} \mathbb{P}\{\gamma^+(x) = 0, \xi^+(\theta_s) > x\} &= \mathbb{P}\{\gamma^+(x) = 0, \xi^+ > x\} \\ &= \mathbb{P}\{\gamma^+(x) = 0, \tau^+(x) < \infty\} = [a]^+ p'_-(0) \frac{\partial}{\partial x} \mathbb{P}\{\xi^+ < x\}. \end{aligned} \quad (6)$$

При  $m > 0$  розподiл  $\xi^+$  вироджений ( $\mathbb{P}\{\xi^+ = +\infty\} = 1$ ),  $\xi^-$  має невироджений розподiл i  $p_- = \mathbb{P}\{\xi^- = 0\} > 0$ . Тому при  $s \rightarrow 0$  iз (4) випливає, що

$$\begin{aligned} \mathbb{P}\{\gamma^+(x) = 0\} &= [a]^+ p_- \frac{\partial}{\partial x} \left( \int_0^\infty \mathbb{P}\{\xi^+(t) > x\} dt \right) \\ &= [a]^+ p_- \frac{\partial}{\partial x} \int_0^\infty \mathbb{P}\{\tau^+(x) > t\} dt = [a]^+ p_- (\mathbb{E} \tau^+(x))'. \end{aligned} \quad (7)$$

Нагадаємо, що схема доведення (4), подiбна доведенню аналогiчного твердження для процесiв  $\xi(t)$  з невиродженою броунiвською компонентою  $\xi_0(t) = \sigma w(t)$ ,  $\sigma > 0$  (див. теорему 2.5 та наслiдок 2.2 в [5]). Там для  $\xi_0(t)$  вибиралось наближення  $\xi_n^0(t)$ , вплив якого при  $n \rightarrow \infty$  виражається лише на значеннi атомарної ймовiрностi  $\mathbb{P}\{\gamma^+(x) = 0\}$ .

Аналогiчно, якщо  $\xi(t) = \xi_1(t) + at$  ( $\xi_1(t)$  — процес з обмеженою варiацiєю без знесення), то для  $at$ ,  $a > 0$ , вибирається наближення

$$\begin{aligned} \xi_n^0(t) &= \sum_{k \leq \nu_n^0(t)} \xi_{k,n}^0, \quad \mathbb{P}\{\xi_{k,n}^0 > 0\} = e^{-nx}, \quad x > 0, \\ \mathbb{P}\{\zeta_{k,n}^0 > t\} &= e^{-\lambda_n^0}, \quad \Pi_n^0(x) = an e^{-nx}, \quad x > 0, \end{aligned}$$

$\nu_n^0(t)$  — пуассонiвський процес з iнтенсивнiстю  $\lambda_n^0 = an$ .

При замiнi  $at$  на  $\xi_n^0(t)$  у рiвняннi для генератриси  $\gamma_{(n)}^+(x)$  ( $\gamma_{(n)}^+(x)$  — перестрибок процесу  $\xi_n(t) = \xi_1(t) + \xi_n^0(t)$ ) у правiй частинi виникає додаткова функцiя

$$A_0^{(n)}(x, u_1) = \int_x^\infty e^{u_1(x-z)} \Pi_n^0(dz) = \frac{an^2}{n + u_1} e^{-nx}, \quad x > 0.$$

Тому в проекційних дужках (див. (2.44) в [5]) виникає додаткова проекційна складова

$$g^n(s, x, u_1) = \left[ \varphi_{-}^{(n)}(s, \alpha) a_0^{(n)}(\alpha, u_1) \right]_{+}^0, \quad \varphi_{\pm}^{(n)}(s, \alpha) = \mathbb{E} e^{i\alpha \xi_n^{\pm}(\theta_s)},$$

$$a_0^{(n)}(\alpha, u_1) = \int_0^{\infty} e^{i\alpha x} A_n(x, u_1) dx = \frac{an^2}{(n+u)(n-i\alpha)}.$$

При  $n \rightarrow \infty$   $a_0^{(n)}(\alpha, u_1) \rightarrow a$ , тому проекційні дужки відповідає не залежна від  $\alpha$  (а отже і від  $x$ ) функція  $C_*(s)$  в (4). При  $m < 0$   $C_*(s) \rightarrow ap'_-(0)$ , тому із (4) випливає (6). При  $m > 0$  із (4) випливає (7), оскільки

$$\mathbb{P} \left\{ \gamma_{(n)}^+(x), \xi_n^+(\theta_s) > x \right\} \underset{n \rightarrow \infty}{\rightarrow} ap_-(s) s^{-1} \frac{\partial}{\partial x} P_+(s, x) \underset{s \rightarrow 0}{\rightarrow} ap_- \frac{\partial}{\partial x} \mathbb{E} \tau^+(x).$$

Якщо  $a < 0$ , тоді аналогічне наближення для  $-|a|t$  зі стрибками  $\xi_{k,n}^0 < 0$  не випливає на проекційну частину в (2.44) з [5]. Тому при  $a \leq 0$   $C_*(s) \equiv 0$ .

Зауважимо, що для субординатора  $\xi(t)$

$$m = \mathbb{E} \xi(1) = a + \tilde{\Pi}(0) > 0, \quad \tilde{\Pi}(u) = \int_0^{\infty} e^{-ux} \Pi(x) dx,$$

тому для нього виконуються такі співвідношення

$$\begin{aligned} p_-(s) &= p_- = 1; & q_-(s) &= 1 - p_-(s) = q_- = 0, & a > 0, \\ P_+(s, x) &= P(s, x); \\ s^{-1} P(s, x) &= \int_0^{\infty} e^{-st} \mathbb{P}\{\xi(t) < x\} dt \underset{s \rightarrow 0}{\rightarrow} \int_0^{\infty} \mathbb{P}\{\tau^+(x) > t\} dt = \mathbb{E} \tau^+(x) = m(x). \end{aligned} \tag{8}$$

З леми 1 випливає

**Наслідок 1.** Якщо  $\xi(t)$  — субординатор, тоді згідно з (4) та (6) — (8) має місце співвідношення

$$\mathbb{P}\{\gamma^+(x) = 0, \xi^+(\theta_s) > x\} = as^{-1} P'(s, x), \quad x > 0, \tag{9}$$

з якого при  $s \rightarrow 0$  випливає

$$\mathbb{P}\{\gamma^+(x) = 0\} = am'(x), \quad x > 0. \tag{10}$$

Зауважимо,  $\tau^+(x)$  є оберненим процесом до  $\xi(t)$ , який не є процесом з н.п. Його траєкторії є кососхідчастими функціями з відрізками лінійного росту та інтервалами сталих (випадкових) значень. Якщо  $\lambda = \int_0^{\infty} \Pi(dx) < \infty$ , тоді  $\tau^+(x)$  має стохастичне зображення

$$\tau^+(x) \stackrel{d}{=} \begin{cases} \frac{x}{a}, & 0 \leq x < a\zeta_1, \quad \mathbb{P}\{\zeta_1 > t\} = e^{-\lambda t}; \\ \zeta_1, & a\zeta_1 \leq x < a\zeta_1 + \xi_1, \quad F(x) = \mathbb{P}\{\xi_1 < x\}; \\ \frac{x-\xi_1}{a}, & a\zeta_1 + \xi_1 \leq x < a\sigma_2 + \xi_1, \quad \sigma_2 = \zeta_1 + \zeta_2; \\ \dots & \dots \\ \sigma_n, & a\sigma_n + S_{n-1} \leq x < a\sigma_n + S_n; \\ \frac{x-S_n}{a}, & a\sigma_n + S_n \leq x < a\sigma_{n+1} + S_n; \end{cases} \tag{11}$$

$$\sigma_n = \sum_{k=1}^n \zeta_k; \quad S_n = \sum_{k=1}^n \xi_k, \quad F_n(x) = \mathbb{P}\{S_n < x\}, \quad n \geq 1.$$

Якщо  $a = 0$ , тоді (11) спрощується.

$$\tau^+(x) \stackrel{d}{=} \begin{cases} \zeta_1, & 0 \leq x < \xi_1, \quad \mathbb{E} \xi_1 = \mu, \\ \sigma_2, & \xi_1 \leq x < S_2, \\ \dots & \dots \\ \sigma_n, & S_{n-1} \leq x < S_n. \end{cases} \quad (12)$$

На основі (11) далі обчислюються усереднення по рядках складові при  $m = 2n + 1$ ,  $n \geq 0$ ,

$$t_{2n+1}(x) = \mathbb{E} \left[ \frac{x - S_n}{a}, a\sigma_n + S_n \leq x < a\sigma_{n+1} + S_n \right]$$

та при  $m = 2n$ ,  $n \geq 1$ ,

$$t_{2n}(x) = \mathbb{E}[\sigma_n, a\sigma_n + S_{n-1} \leq x < a\sigma_n + S_n].$$

Після підсумування знаходяться

$$\begin{aligned} m_1(x) &= \sum_{n=0}^{\infty} t_{2n+1}(x), & m_2(x) &= \sum_{n=1}^{\infty} t_{2n}(x), \\ m(x) &= \mathbb{E} \tau^+(x) = m_1(x) + m_2(x). \end{aligned} \quad (13)$$

Останнє співвідношення в (13) для  $m(x)$  (в силу усереднення за неперервним розподілом  $F_{\sigma_n}(x)$  при обчисленні його складових  $t_m(x)$ ) дає підставу стверджувати, що  $m(x)$  неперервна і диференційовна по  $x > 0$ .

Згідно з означенням в [3] на с. 74 середнє  $m(x)$  визначає потенціал субординатора:  $U(x) = U([0, x]) = \mathbb{E} \int_0^\infty \mathbb{1}\{\xi(t) \in [0, x]\} dt$ , а саме

$$U(x) = \mathbb{E} \tau^+(x) = m(x), \quad x > 0. \quad (14)$$

Тому формула (10) у наслідку 1 узгоджується з теоремою 5 в [3, с. 79].

Для довільного процесу  $\xi(t)$  з н.п. ф.р.  $P(s, x)$  задовільняє інтегро-диференціальне рівняння (1.54) в [5]. З урахуванням (8) для субординатора аналогічне рівняння задовільняє  $m(x)$

$$am'(x) + \int_0^\infty [m(x-y) - m(x)] \Pi(dy) = 1, \quad x > 0, \quad m(x) = 0, \quad x < 0. \quad (15)$$

Після інтегрування частинами з урахуванням нульової граничної умови рівняння (15) зводиться до інтегрального рівняння типу згортки для  $m'(x)$ .

$$am'(x) + \int_0^x \Pi(x-y) m'(y) dy = 1, \quad x > 0. \quad (16)$$

Із співвідношень (10), (13) та (16) випливає

**Теорема 1.** Для субординатора  $\xi(t)$ ,  $a > 0$ , похідна  $m'(x) = \frac{\partial}{\partial x} \mathbb{E} \tau^+(x)$ ,  $x > 0$ , описується рівнянням (15), з якого після перетворення Лапласа визначається

$$\begin{aligned} \hat{m}(u) &:= \int_0^\infty e^{-ux} m'(x) dx = \frac{1}{u} \frac{1}{a + \tilde{\Pi}(u)} = \frac{-1}{k(u)}, \\ k(u) &= \Psi(iu), \quad \tilde{\Pi}(u) = \int_0^\infty e^{-ux} \Pi(x) dx = \lambda \int_0^\infty \bar{F}(x) e^{-ux} dx, \quad \lambda < \infty. \end{aligned} \quad (17)$$

Якщо  $\tilde{f}(u) = \mathbb{E} e^{-u\xi_1} = c(c+u)^{-1}$ ,  $c > 0$ , тоді  $\tilde{\Pi}(u) = \lambda(c+u)^{-1}$ ; розкладавши  $k^{-1}(u)$  на дробово-лінійні функції, знаходимо

$$\hat{m}(u) = \frac{1}{ar_0} \left[ \frac{c}{u} + \frac{\lambda}{a} \frac{1}{u+r_0} \right], \quad r_0 = c + \lambda a^{-1}. \quad (18)$$

Після обернення (18) по  $u$  визначається

$$m'(x) = \frac{1}{ar_0} [c + \lambda a^{-1} e^{-r_0 x}] = \frac{a^{-1}}{ac + \lambda} [ac + \lambda e^{-r_0 x}], \quad x > 0. \quad (19)$$

Для довільного субординатора  $\xi(t)$  згідно з (1.94) із [5] із (17) випливає, що

$$\begin{aligned} m'(+0) &= \lim_{u \rightarrow \infty} u\hat{m}(u) = \lim_{u \rightarrow \infty} \frac{1}{a + \tilde{\Pi}(u)} = \frac{1}{a}, \\ m'(+\infty) &= \lim_{u \rightarrow 0} u\hat{m}(u) = \frac{1}{a + \tilde{\Pi}(0)} = \frac{1}{m}. \end{aligned} \quad (20)$$

Зauważення 1. Співвідношення (17) можна одержати безпосередньо з формулі (1.55) в [5], згідно з якою

$$s^{-1} \mathbb{E} e^{-u\xi(\theta_s)} = (s - k(u))^{-1} \underset{s \rightarrow 0}{\rightarrow} \int_0^\infty e^{-ux} d \int_0^\infty \mathbb{P}\{\tau^+(x) > t\} dt = -k^{-1}(u).$$

Більш повну інформацію про  $m(x)$  дає

**Теорема 2.** Для субординатора  $\xi(t)$  з  $a > 0$  при  $\lambda < \infty$  потенціал  $U(x) = m(x)$  визначається співвідношенням

$$m(x) = \sum_{m=1}^{\infty} t_m(x) = m_1(x) + m_2(x), \quad (21)$$

( $m_{1,2}(x)$  див. (13)), де складові  $t_m(x)$ ,  $m = 2n + 1$ ,  $m = 2n$ , мають інтегральне зображення

$$\begin{aligned} t_{2n+1}(x) &= \frac{\lambda^n}{n!} \int_0^x \left( \frac{x-y}{a} \right)^{n+1} e^{-\lambda \frac{x-y}{a}} dF_n(y), \quad F_n(y) = \mathbb{P}\{S_n < y\}, \quad y > 0, \\ t_{2n}(x) &= \frac{\lambda^n a^{-1}}{(n-1)!} \int_0^x \left( \frac{x-y}{a} \right)^n e^{-\lambda \frac{x-y}{a}} [\bar{F}_n(y) - \bar{F}_{n-1}(y)] dy, \quad x > 0. \end{aligned} \quad (22)$$

Перетворення Лапласа  $\tilde{t}_m(u) = \int_0^\infty e^{-ux} t_m(x) dx$  визначається через  $\tilde{f}(u) = \mathbb{E} e^{-u\xi_1}$

$$\tilde{t}_{2n+1}(u) = \frac{a\lambda^n(n+1)\tilde{f}^n(u)}{(\lambda + au)^{n+2}}, \quad \tilde{t}_{2n}(u) = \frac{n\lambda^n\tilde{f}^{n-1}(u)}{(\lambda + au)^{n+1}} \frac{1 - \tilde{f}(u)}{u},$$

внаслідок чого встановлюється просте співвідношення для

$$\tilde{m}(u) := \int_0^\infty e^{-ux} m(x) dx = \frac{-1}{uk(u)}. \quad (23)$$

Якщо  $\xi(t)$  неперервний знизу процес з  $a < 0$  (маєже напівнеперервний знизу з  $a = 0$  із (2)), тоді при  $m < 0$  генераторика  $\xi^+$  визначається співвідношенням

$$\begin{aligned} \mathbb{E} e^{-u\xi^+} &= \frac{1}{\rho'_-(0)} \frac{u}{k(u)} = \frac{m}{a + \tilde{\Pi}(u)}, \quad m = a + \tilde{\Pi}(0) < 0, \\ \rho'_-(0) &= \frac{1}{|m|}, \quad p_+ = \frac{m}{a}, \\ (\mathbb{E} e^{-u\xi^+}) &= \frac{b|m|u}{k(u)(b-u)} = \frac{b|m|}{\lambda_1 - (b-u)\tilde{\Pi}(u)}, \quad m = \tilde{\Pi}(0) - \lambda_1 b^{-1} < 0. \end{aligned} \quad (24)$$

**Доведення.** Легко знайти  $t_1(x) = \frac{x}{a} e^{-\lambda x/a}$ ,  $x > 0$ . Дещо складніше за допомогою усереднення по щільності розподілу  $\sigma_n$

$$F'_{\sigma_n}(x) = \frac{\lambda^n}{(n-1)!} e^{-\lambda x} x^{n-1}, \quad x > 0,$$

проводиться обчислення  $t_m(x)$ ,  $m = 2n$ ,  $m = 2n + 1$ , в результаті якого встановлюються співвідношення (22). Після перетворення Лапласа з (22) випливають співвідношення для  $\tilde{t}_m(u)$ . Тоді для  $\tilde{m}_{1,2}(u) = \int_0^\infty e^{-ux} m_{1,2}(x) dx$  одержуються спрощені співвідношення в термінах  $k(u)$

$$\begin{aligned}\tilde{m}_1(u) &= \frac{a}{(\lambda + au)^2} \left(1 - \frac{\lambda \tilde{f}(u)}{\lambda + au}\right)^{-2} = \frac{a}{k^2(u)}, \\ m_2(u) &= \frac{1 - \tilde{f}(u)}{u(\lambda + au)^2} \left(1 - \frac{\lambda f(u)}{\lambda + au}\right)^{-2} = \frac{\lambda(1 - \tilde{f}(u))}{uk^2(u)},\end{aligned}\quad (25)$$

після складання яких встановлюється (23). Оскільки  $\widehat{m}(u) = u\tilde{m}(u)$ , то (17) і (23) еквівалентні. З основної факторизаційної тотожності (2.4) і (3.37) ((3.93)) в [5] випливає (23). Цікаво, що праві частини (16), (22), (23) відрізняються між собою множником  $u^{\pm 1}$ .  $\square$

**Теорема 3.** Якщо для субординатора  $\xi(t)$   $a \rightarrow 0$ , тоді згідно з (12) встановлюється, що

$$m(x) = \frac{1}{\lambda} H(x), \quad H(x) = \sum_{n=0}^{\infty} F_n(x), \quad F_0(x) = I_{x>0}, \quad (26)$$

$$m(+0) = \frac{1}{\lambda}, \quad m(x) \approx \frac{x}{\lambda\mu} = \frac{x}{m}, \quad x \rightarrow \infty. \quad (27)$$

*Доведення.* Після усереднення по рядках знаходимо, що

$$t_n(x) = \frac{n}{\lambda} [\overline{F}_n(x) - \overline{F}_{n-1}(x)], \quad n \geq 1, \quad x > 0, \quad \overline{F}_n(x) = 1 - F_n(x). \quad (28)$$

Із (28) після складання легко довести, що

$$m(x) = \sum_{n \geq 1} t_n(x) = \frac{1}{\lambda} \sum_{n \geq 1} n [\overline{F}_n(x) - \overline{F}_{n-1}(x)] = \frac{1}{\lambda} H(x).$$

Співвідношення (27) випливають з того, що (див. (26))  $H(+0) = 1$ , а за елементарною теоремою відновлення  $H(x) \approx x\mu^{-1}$ ,  $x \rightarrow \infty$ .

Щоб одержати розподілі

$$\gamma_1(x) = \gamma^+(x), \quad \gamma_2(x) = \gamma_+(x), \quad \gamma_3(x) = \xi(\tau^+(x)) - \xi(\tau^+(x) - 0)$$

для субординатора з  $a > 0$  слід використати відповідні результати теореми 3.8 з [5] для майже напівнеперервних знизу процесів з кумулянтою (2), з якої при  $\lambda_1 \rightarrow 0$  (або  $b \rightarrow \infty$ ) одержується (3). Тоді співвідношення для допоміжних функцій (див. [5] (3.59)–(3.55),  $k = 1, 2, 3$ ) спрощуються (оскільки  $\xi^-(\theta_s)$  зосереджене в 0)

$$G_k(x, u_k) = \int_{-\infty}^0 A_k(x - y, u_k) dP_-(s, y) = A_k(x, u_k) = \begin{cases} \int_x^\infty e^{u_1(x-z)} \Pi(dz), & k = 1, \\ e^{-u_2 x} \Pi(x), & k = 2, \\ \int_x^\infty e^{-u_3 z} \Pi(dz), & k = 3. \end{cases}$$

Якщо позначити  $\overline{A}_k(x, u_k) = A_k(x, u_k) - A_k(x, 0)$ ,  $k = 1, 2, 3$ , тоді згідно з (3.161) в [5] має місце співвідношення

$$\int_0^\infty e^{-u_k z} \mathbb{P}\{\gamma_k(x) > z, \xi(\theta_s) > x\} dz = -(su_k)^{-1} \int_0^x \overline{A}_k(x - y, u_k) dP(s, y), \quad y > 0,$$

з якого при  $s \rightarrow 0$  випливає, що

$$\int_0^\infty e^{-u_k z} \mathbb{P}\{\gamma_k(x) > z\} dz = -\frac{1}{u_k} \int_0^x \overline{A}(x - y) m'(y) dy. \quad (29)$$

Після інтегрування частинами із (29) визначаються генератриси ( $k = 1, 3$ )

$$f_k(x, u_k) := \mathbb{E} e^{-u_k \gamma_k(x)} = 1 + \int_0^x \bar{A}_k(x - y, u_k) dm(y), \quad (30)$$

при цьому границі  $\lim_{u_k \rightarrow \infty} f_k(x, u_k)$  визначають ( $k = 1, 2, 3$ ) імовірності

$$\mathbb{P}\{\gamma_k(x) = 0\} = 1 - \int_0^x \Pi(x - y) dm(y) = am'(x). \quad (31)$$

Крім того, для  $k = 3$  атомарну ймовірність можна записати і в такій формі

$$\mathbb{P}\{\gamma_3(x) = 0\} = 1 - \int_0^x [m(x) - m(x - y)] \Pi(dy) - m(x) \Pi(x).$$

В силу (16) співвідношення (10) і (31) еквівалентні.  $\square$

Після виділення атомарних імовірностей встановлюється

**Теорема 4.** Для генератрис  $\gamma_k(x)$  субординатора  $\xi(t)$  мають місце співвідношення

$$f_1(x, u_1) = am'(x) + \int_0^x \int_y^\infty e^{u_1(y-z)} \Pi(dz) m'(x-y) dy, \quad (32)$$

$$f_2(x, u_2) = am'(x) + \int_0^x e^{-u_2 y} \Pi(y) m'(x-y) dy, \quad (33)$$

$$\begin{aligned} f_3(x, u_3) &= \mathbb{P}\{\gamma_3(x) = 0\} + m(x) \int_x^\infty e^{-u_3 z} \Pi(dz) \\ &\quad + \int_0^x e^{-u_3 z} [m(x) - m(x-z)] \Pi(dz). \end{aligned} \quad (34)$$

Оберненням інтегральних членів у (32)–(34) по  $u_k$  визначаються щільності  $\gamma_{1,2}(x)$  та розподіл  $\gamma_3(x)$ :

$$\frac{\partial}{\partial x} \mathbb{P}\{\gamma_1(x) < z\} = \int_0^x \Pi'(y+z) m'(x-y) dy, \quad z > 0, \quad (35)$$

$$\frac{\partial}{\partial x} \mathbb{P}\{\gamma_2(x) > z\} = \Pi(z) m'(x-z) I_{0 \leq z \leq x}, \quad (36)$$

$$\mathbb{P}\{\gamma_3(x) > y\} = \int_y^x [m(x) - m(x-z)] \Pi(dz) + m(x) \Pi(x \vee y), \quad (37)$$

$$\mathbb{P}\{\gamma_3(x) > x\} = m(x) \Pi(x) \quad \text{при } y \rightarrow x > 0.$$

**Доведення.** Після виділення  $\mathbb{P}\{\gamma_k(x) = 0\}$  із (30) генератриси  $f_k(x, u_k)$  набувають вигляду (32)–(34), де оберненню по  $u_k$  підлягають лише інтегральні складові. Зокрема, (33) одержується розбиттям подвійного інтегралу на дві частини:

$$\int_0^x \int_y^\infty e^{-u_3 z} \Pi(dz) m'(x-y) dy = \int_0^x \dots \int_0^z dy + \int_z^\infty \dots \int_0^x dy.$$

В (32) обернення по  $u_1$  здійснюється після заміни  $y - z = -z'$ . В (33) обернення по  $u_2$  очевидне, оскільки  $\mathbb{P}\{\gamma_2(x) > z\} = 0$  при  $z > x$ . Після обернення (34) по  $u_3$  спочатку знаходиться щільність  $\gamma_3(x)$  в диференціалах  $\Pi(dz)$ , а після інтегрування її визначається розподіл (37). При  $y = 0$  (37) узгоджується з додатковою формою запису  $\mathbb{P}\{\gamma_3(x) = 0\}$  після (31).  $\square$

Із наслідку 3.9 в [5] одержується

**Лема 2.** Для субординатора  $\xi(t)$   $a > 0$  і  $m > 0$ , тому згідно з (3.166) в [5] мають місце співвідношення

$$\begin{aligned} \frac{\partial}{\partial z} \mathbb{P}\{\gamma_k(\infty) < z\} &= \Pi(z)\tilde{\Pi}(0)^{-1}, & \tilde{\Pi}(0) &= \int_0^\infty \Pi(z) dz, & k &= 1, 2, \\ \mathbb{P}\{\gamma_3(\infty) > z\} &= m_+ \int_z^\infty y\Pi(y) dy, & m_+^{-1} &= \int_0^\infty y\Pi(y) dy, & k &= 3, \end{aligned} \quad (38)$$

при цьому залежністі розподілу  $\gamma_k(\infty)$  від  $a$  немає, оскільки  $\mathbb{P}\{\gamma_k(\infty) = 0\} = 0$ .

Для немонотонних напівнеперервних процесів  $\xi(t)$  В.С.Королюк в [1] ввів поняття потенціалу  $R(x)$  та резольвенти  $R_s(x)$ ,  $x > 0$ , іншим способом (відмінним від (14)).

Для складного пуссонівського неперервного знизу процесу з кумулянтою

$$\psi(\alpha) = i\alpha a + \lambda \int_0^\infty (e^{i\alpha x} - 1) dF(x), \quad a < 0$$

резольвента  $R_s(x)$  і потенціал  $R(x)$  визначаються в [1] своїми інтегральними перетвореннями

$$\begin{aligned} \tilde{R}_s(\alpha) &= \int_0^\infty e^{i\alpha x} R_s(x) dx = \frac{1}{\psi(\alpha) - s} \Big|_{\alpha=iu} \\ &= \frac{1}{k(u) - s}, \quad \operatorname{Im} \alpha > \rho_-(s), \quad s \geq 0, \\ \tilde{R}(\alpha) &= \int_0^\infty e^{i\alpha x} R(x) dx = \frac{1}{\psi(\alpha)} \Big|_{\alpha=iu} \\ &= k^{-1}(u), \quad \operatorname{Im} \alpha > \rho_-(0), \quad k(\rho_-(s)) = s. \end{aligned} \quad (39)$$

Для довільного неперервного знизу процесу  $\xi(t)$  означення потенціалу наводиться в § 4.1 [5]. Там же для  $R(x)$  наводиться троїсте зображення  $R(x)$  залежно від знаку  $m = \mathbb{E}\xi(1)$ . Зокрема, з теореми 4.1а) в [5] для неперервних знизу процесів з  $\sigma^2 \geq 0$  у випадку  $m = 0$  випливає

**Лема 3.** Для процесу  $\xi(t)$  з кумулянтою (4.9) в [5] ( $\sigma^2 \geq 0$ ;  $a < 0$ , якщо  $\sigma^2 = 0$ ,  $\operatorname{var}\xi(t) < \infty$ ) потенціал  $R(x)$  згідно з (4.33) в [5] при  $m = 0$  має зображення

$$R(x) = \frac{\sqrt{2}}{\sigma_1} \mathbb{E} \tau^0(x), \quad \mathbb{E} \tau^0(x) = \int_0^\infty \mathbb{P}\{\xi^0(t) < x\} dt, \quad (40)$$

де  $\sigma_1^2 = \mathbf{D}\xi(1)$ ,  $\xi^0(t)$  – субординатор з  $a^0 = \frac{\sigma^2}{\sigma_1 \sqrt{2}}$ ,  $\Pi^0(dx) = \lambda^0 \tilde{F}'(x) dx$ ,  $\tilde{F}'(x) = \mu^{-1} \overline{F}(x)$ ,  $\lambda^0 = \frac{\sqrt{2}}{\sigma_1} \lambda \mu$ . Якщо  $\lambda = \infty$ ,  $\Pi^0(dx) = \frac{\sqrt{2}}{\sigma_1} \Pi(x) dx$ .

Значення  $m^0(x) = \mathbb{E} \tau^0(x)$  при  $a^0 > 0$  обчислюється за формулами (20)–(21) (після заміни  $\lambda$  на  $\lambda^0$  та  $F'(x)$  на  $\tilde{F}'(x)$ ).

Якщо  $\sigma = 0$ , тоді для східчастого  $\xi^0(t)$  згідно з (4.36) в [5] потенціал  $R(x)$  виражається через функцію відновлення для

$$\tilde{S}_n = \sum_{k \leq n} \tilde{\xi}_k^0, \quad \tilde{F}(x) = \mathbb{P}\{\tilde{\xi}_1^0 < x\}, \quad \tilde{F}'(x) = \frac{\Pi(x)}{\tilde{\Pi}(0)}, \quad x > 0, \quad (41)$$

$$R(x) = \tilde{\Pi}(0) \tilde{H}^0(x), \quad \tilde{H}^0(x) = \sum_{n=1}^\infty \tilde{F}(x)^{*n}. \quad (42)$$

При цьому  $R(+0) = \tilde{H}^0(0) = 0$  і згідно з (38)

$$\tilde{F}'(x) = \Pi(x)\tilde{\Pi}(0)^{-1} = \frac{\partial}{\partial x} \mathbb{P}\{\gamma_{1,2}(\infty) < x\}. \quad (43)$$

Після порівняння (26) і (42) легко замітити їх подібність:  $m(x)$  в (26) для субординатора при  $a \rightarrow 0$  та  $R(x)$  для неперервного знизу  $\xi(t)$  з  $m = \sigma = 0$  виражаються через відповідні функції відновлення (але в (26)  $H(0) = 1$ , а в (42)  $\tilde{H}^0(0) = 0$ ). Порівнянням (17) та (23) для потенціалу субординатора з (39) для потенціала  $R(x)$  неперервного знизу  $\xi(t)$  легко замітити схожість між (17) і (39), записаним як перетворення Лапласа потенціалу  $R(x)$ ,

$$(39) \Leftrightarrow \tilde{R}(u) = \int_0^\infty e^{-ux} R(x) dx = \frac{1}{k(u)}, \quad k(u) = \psi(iu).$$

Але різниця виявляється в знаках для  $k(u)$ : для субординатора

$$-k(u) = u(a + \tilde{\Pi}(u)) > 0$$

при  $u > 0$ , для неперервного знизу  $\xi(t)$   $k(u) > 0$  при  $u > \rho_-(0)$  ( $\rho_-(0) > 0$ ) при  $m > 0$ . Крім того, (17) є перетворенням Лапласа для  $U'(x) = m'(x)$ , а (39) — для потенціалу  $R(x)$ .

**Зauważення 2.** Служно відзначити, що потенціал  $R(x)$  має широкий спектр застосування в граничних задачах для немонотонних напівнеперервних процесів. До них відноситься не лише використання  $R(x)$  при дослідженні розподілу граничних функціоналів цих процесів, а й застосування  $R(x)$  в задачах, пов'язаних з блуканням на обмеженому інтервалі, в задачах з одностороннім та двустороннім відбиттям, а також із затримкою (див. в [5, р.4]). Але в силу монотонності субординатора рамки застосування потенціалу  $U(x)$  звужуються.

Для  $\xi(t)$  з кумулянтою (1) згідно з теоремою 1.12 в [6]  $\xi(t)t^{-1} \xrightarrow[t \rightarrow 0]{} a$ , а для загального процесу з н.п. має місце посиленій закон великих чисел (див. теорему 1.13 в [6]), і на основі (35)–(37) визначаються розподіли  $\xi(\tau_+(x) \pm 0)$ . Отже має місце

**Теорема 5.** Для субординатора  $\xi(t)$  існує середне  $m = E\xi(1) = a + \tilde{\Pi}(0) < \infty$ , тому

$$P\left\{\lim_{t \rightarrow 0} t^{-1}\xi(t) = a\right\} = 1, \quad \lim_{t \rightarrow \infty} P\left\{t^{-1}\xi(t) = m\right\} = 1. \quad (44)$$

Розподіли  $\xi(\tau^+(x)) > x$  та  $\xi(\tau^+(x) + 0) < x$  визначаються так

$$P\{\xi(\tau^+(x)) > z\} = \int_0^x \Pi(z-y)m'(y) dy, \quad z > x, \quad (45)$$

$$P\{\xi(\tau^+(x) - 0) < z\} = \int_{x-z}^x \Pi(y)m'(x-y) dy, \quad 0 \leq z < x. \quad (46)$$

При  $z \rightarrow x \mp 0$  із (45)–(46) випливає, що

$$P\{\gamma^+(x) > 0\} = P\{\gamma_+(x) > 0\} = \int_0^x \Pi(x-y)m'(y) dy. \quad (47)$$

**Доведення.** (45)–(46) випливають із того, що

$$\xi(\tau^+(x)) = x + \gamma^+(x), \quad \xi(\tau^+(x) - 0) = x - \gamma_+(x),$$

і після інтегрування щільностей (35)–(36) встановлюються відповідні співвідношення (45)–(46), з яких при  $z \rightarrow x \mp 0$  випливає (47), що узгоджується з (31).  $\square$

**Зauważення 2.** Для немонотонних напівнеперервних або майже напівнеперервних знизу процесів  $\xi(t)$  функціонал  $\tau^+(x)$  є монотонним однорідним процесом з н.п. по  $x \geq 0$ . В деяких випадках для нього можна знайти характеристики Леві (значення  $\gamma$  і стрибкову міру  $\Pi(A)$  на  $R^+$ , див. § 3.5 у [5]). При  $\gamma > 0$ ,  $\tau^+(x)$  є субординатором. Для субординаторів  $\xi(t)$   $\tau^+(x)$  лише при  $a \rightarrow 0$  та  $P\{\xi_k > x\} = e^{-cx}$  ( $c > 0$ ) є пуссонівським процесом з інтенсивністю  $\lambda' = c$  та стрибками  $\zeta_k$ . В протилежному разі  $\tau^+(x)$  не є однорідним процесом з н.п.

Спільний розподіл  $\{\xi(\tau^+(x)), \xi(\tau^+(x) - 0)\}$  так само легко одержати з формул для спільних генератрис  $\{\gamma_1(x) = \gamma^+(x), \gamma_2(x) = \gamma_+(x)\}$ , одержаних в [5]. Із співвідношень на початку розділу 6 ([5]) випливає

**Теорема 6.** Для субординатора  $\xi(t)$  спільний розподіл  $\{\gamma_1(x), \gamma_2(x)\}$  визначається щільностями

$$\frac{\partial^2}{\partial z_1 \partial z_2} \mathbb{P}\{\gamma_1(x) < z_1, \gamma_2(x) < z_2\} = m'(x - z_1) \Pi'(z_1 + z_2) I_{z_2 \leq x}, \quad (48)$$

$$\frac{\partial}{\partial z} \mathbb{E} \left[ e^{-u_2 \gamma_2(x)} \gamma_1(x) < z \right] = \int_0^x e^{-u_2 y} m'(x - y) \Pi'(y + z) dy, \quad (49)$$

$$\frac{\partial}{\partial y} \mathbb{P}\{\gamma_2(x) < y, \gamma_1(x) < z\} = m'(x - y) \Pi(y + z) I_{y \leq x}, \quad (50)$$

$$\begin{aligned} \mathbb{P}\{0 < \gamma_2(x) < x, \gamma_1(x) < z\} &= \int_0^x m'(x - y) \Pi(y + z) dy \\ &\stackrel{z \rightarrow 0}{\Rightarrow} \mathbb{P}\{0 < \gamma_2(x) < x, \gamma_1(x) = 0\} = \int_0^x m'(x - y) \Pi(y) dy. \end{aligned} \quad (51)$$

*Доведення.* Згідно з (6.3) в [5] дogrанична (і гранична при  $s = 0$ ) генератриса

$$\begin{aligned} V(s, x; u_1, u_2) &= \mathbb{E} \left[ e^{-u_1 \gamma_1(x) - u_2 \gamma_2(x)}, \xi^+(\theta_s) > x \right], \\ V(0, x; u_1, u_2) &= \mathbb{E} \left[ e^{-u_1 \gamma_1(x) - u_2 \gamma_2(x)} \right] \end{aligned}$$

виражається через функцію  $G(s, x, u_1, u_2) = \int_{-\infty}^0 A(x - y, u_1, u_2) dP_-(s, y)$ , яка згідно з (8) спрощується (оскільки розподіл  $\xi^-(\theta_s)$  має лише стрибок  $p_-(s) = 1$  в нулі),

$$G(s, x, u_1, u_2) = A(x, u_1, u_2) = \int_x^\infty e^{u_1(x-z) - u_2 x} \Pi(dz).$$

Тоді для  $\xi(t)$  при  $a \geq 0$  генератриса  $\{\gamma_1(x), \gamma_2(x)\}$  (див. (6.3) в [5]) має вигляд:

$$V(s, x; u_1, u_2) = s^{-1} \int_0^x A(x - y, u_1, u_2) dP_+(s, x),$$

з якого при  $s \rightarrow 0$  випливає, що

$$V(0, x; u_1, u_2) = \int_0^x m'(x - y) \int_0^\infty e^{-u_1 z - u_2 y} \Pi'(y + z) dz dy. \quad (52)$$

Після обернення (52) по  $u_1$  встановлюється (49), з якого після обернення по  $u_2$  випливає (48). Із (48)–(49) випливають (50)–(51). При цьому (51) узгоджується з компенсаційною формулою (див. [3] внизу на с. 76).

При  $a = 0$  (48)–(51) повністю визначають розподіл  $\{\gamma_1(x), \gamma_2(x)\}$ , оскільки для  $\gamma_{1,2}(x)$  відсутня атомарна імовірність. Якщо  $a > 0$ , тоді в силу (2.55) в [5]

$$\mathbb{P}\{\gamma_1(x) = 0, \gamma_2(x) = 0\} = am'(x) > 0,$$

а формулі (48)–(51) визначають розподіл строго додатних значень  $\{\gamma_{1,2}(x) > 0\}$ . З цих формул легко одержати співвідношення для спільного розподілу

$$\{\xi(\tau^+(x)), \xi(\tau^+(x) - 0)\},$$

оскільки  $\xi(\tau^+(x)) = x + \gamma_1(x)$ ,  $\xi(\tau^+(x) - 0) = x - \gamma_2(x)$ .  $\square$

З'ясуємо питання про те, чи зміняться співвідношення (18)–(19) для субординатора, якщо генератрису стрибків  $\tilde{f}(u) = \frac{c}{c+u}$  замінити на ерлангову генератрису 2-го порядку.

**Приклад 1.** Нехай  $\xi(t)$  субординатор з  $a > 0$ ,  $\tilde{f}(u) = (c/(c+u))^2$ ,  $c > 0$ , тоді

$$\begin{aligned} \Pi(x) &= \lambda(1+cx)e^{-cx}, \quad x > 0; \quad \tilde{\Pi}(u) = \lambda \frac{2c+u}{(c+u)^2}, \quad m = a + \frac{2\lambda}{c} > a, \\ a + \tilde{\Pi}(u) &= \frac{aP_2(u)}{(c+u)^2}, \quad P_2(u) = u^2 + (2c + \lambda a^{-1})u + c(c + 2\lambda a^{-1}). \end{aligned}$$

Зауважимо, що дискримінант  $D = \frac{\lambda}{a^2}(\lambda - 4ac)$  — довільного знаку, при  $D < 0$ , позначимо  $D = -4\omega^2$

$$\begin{aligned} P_2(0) &= c(c + 2\lambda a^{-1}) = c^2 ma^{-1}, \\ P_2(u) &= (u + \delta)^2 - \frac{1}{4}D, \quad \delta = \frac{2ac + \lambda}{2a} > 0. \end{aligned}$$

Згідно з (17) після ділення  $(c+u)^2$  на  $P_2(u)$  легко знайти

$$\hat{m}(u) = \frac{(c+u)^2}{auP_2(u)} = \frac{1}{au} \left[ 1 - \frac{2\lambda ca^{-1}}{P_2(u)} \right] - \frac{\lambda}{a^2 P_2(u)}. \quad (53)$$

Обернення (53) по  $u$  залежить від знаку  $D$ . Не зменшуючи загальності, для простоти покладемо  $a = c = 1$ ,  $\lambda > 0$  — довільне. При цьому відмітимо, що при  $\lambda = 4$ ,  $D = 0$  і  $m = 9 = m_*$  назовемо “межовим” середнім (в загальному випадку  $D = 0$  при  $\lambda_* = 4ac$ ,  $m_* = a^2 + 8c$ ). При  $\lambda < 4$   $m < m_*$ , при  $\lambda > 4$   $m > m_* = 9$ . Має місце

**Пропозиція.** *Нехай  $\xi(t)$  субординатор з  $a = c = 1$ , довільним  $\lambda > 0$  і  $\tilde{f}(u) = (1+u)^{-2}$ .*

a) Якщо  $0 < \lambda < 4$ ,  $D < 0$ ,  $1 < m < 9$ ,  $1 < \delta < 3$ ,  $\omega^2 = -\frac{1}{4}D > 0$ , тоді рівняння  $P_2(u) = 0$  має комплексно спряжені корені  $u_{1,2} = -\delta \pm i\omega$  і згідно з (53)

$$\hat{m}(u) = \frac{1}{u} \left[ 1 - \frac{2\lambda}{(u + \delta)^2 + \omega^2} \right] - \frac{\lambda}{(u + \delta)^2 + \omega^2}. \quad (54)$$

Після обернення дробово-раціональних функцій в (54) одержимо функції

$$\begin{aligned} G_1(x) &= \lambda \omega^{-1} e^{-\delta x} \sin \omega x, \quad x > 0; \quad G_1(+0) = G_1(+\infty) = 0; \\ G_2(x) &= 2 \int_0^x G_1(y) dy, \quad x > 0; \quad G_2(+0) = 0, \quad G_2(+\infty) = \frac{2\lambda}{2\lambda + 1}; \\ &\quad \left( \int_0^\infty e^{-\delta y} \sin \omega y dy = \frac{\omega}{\omega^2 + \delta^2} \right). \end{aligned}$$

Після обернення (54) встановлюється двоїстий запис для  $m'(x)$ :

$$m'(x) = \begin{cases} 1 - G_1(x) - G_2(x) \rightarrow 1 & при x \rightarrow 0; \\ \frac{1}{m} - G_1(x) + 2 \int_x^\infty G_1(y) dy \rightarrow \frac{1}{m} & при x \rightarrow +\infty, \end{cases} \quad (55)$$

оскільки при  $x \rightarrow \infty$  функції  $G_1(x) \rightarrow 0$ ,  $| \int_x^\infty G_1(y) dy | < \int_x^\infty e^{-\delta y} dy \rightarrow 0$  описують згасаючі коливання. Отоже, при  $\lambda < 4$ ,  $1 < m < m_*$  справедливі асимптотичні оцінки

$$m'(x) - 1 = O(1), \quad x \rightarrow 0; \quad m'(x) - \frac{1}{m} = O(e^{-\delta x}), \quad mx \rightarrow \infty, \quad 0 < \delta < 3. \quad (56)$$

б) Якщо  $\lambda = 4$ ,  $D = 0$ ,  $m = m_* = 9$ ,  $\delta = \delta_* = 3$ , тоді  $P_2(u) = (u+3)^2$ . Позначимо

$$\tilde{f}_*(u) = \frac{3}{3+u}, \quad f_*(x) = 3e^{-3x}, \quad F_*(x) = 1 - e^{-3x}, \quad x > 0.$$

Згідно з (53) у випадку кратного кореня  $u_{1,2} = -3$  (див. пунктирну криву на 1-му графіку).

$$\hat{m}(u) = \frac{1}{u} \left( \frac{u+2}{u+3} \right)^2 = \frac{1}{u} + \frac{4}{9u} \tilde{f}_*^2(u) - \frac{4}{3u} \tilde{f}_*(u). \quad (57)$$

Після обернення (57) по  $u$  знаходимо двоїстий запис  $m'(x)$

$$m'(x) = \begin{cases} \frac{1}{a} + \frac{4}{9} F_*^2(x) - \frac{4}{3} F_*(x) \rightarrow 1, & x \rightarrow 0, a = 1, \\ \frac{1}{m_*} - \frac{4}{9} \bar{F}_*^2(x) + \frac{4}{3} \bar{F}_*(x) \rightarrow \frac{1}{m_*}, & x \rightarrow \infty, m_* = 9. \end{cases} \quad (58)$$

Асимптотичні оцінки (56) залишаються вірними з  $\delta = \delta_* = 3$ ,  $m = m_* = 9$ .

б) Якщо  $\lambda > 4$ ,  $D > 0$ ,  $m > m_* = 9$ , тоді  $\min_{u \leq 0} P_2(u) = P_2(-\delta) = -\frac{1}{4}D < 0$ . Оскільки  $P_2(0) = m > 9$ , рівняння  $P_2(u) = 0$  має різні корені

$$u_{1,2} = -\frac{2 + \lambda \pm \sqrt{\lambda(\lambda - 4)}}{2} < 0, \quad u_1 - u_2 = \sqrt{\lambda(\lambda - 4)}, \quad u_1 u_2 = m.$$

Якщо позначити  $\rho_{1,2} = -u_{1,2}$ , то згідно з (53) (див.  $-\rho_{1,2}$  на першому суцільному графіку)

$$\widehat{m}(u) = \frac{1}{u} \left[ 1 - \frac{2\lambda}{\rho_2 - \rho_1} \left( \frac{1}{\rho_1 + u} - \frac{1}{\rho_2 + u} \right) \right] - \frac{\lambda}{\rho_2 - \rho_1} \left( \frac{1}{\rho_1 + u} - \frac{1}{\rho_2 + u} \right). \quad (59)$$

З (59) після обернення по  $u$  випливає, що

$$m'(x) = \begin{cases} 1 - \frac{2\lambda}{\rho_2 - \rho_1} \text{ має } \left[ \frac{1-e^{-\rho_1 x}}{\rho_1} - \frac{1-e^{-\rho_2 x}}{\rho_2} \right] - \frac{\lambda}{\rho_2 - \rho_1} (e^{-\rho_1 x} - e^{-\rho_2 x}), \\ \frac{1}{m} + \frac{2\lambda}{\rho_2 - \rho_1} (\rho_1^{-1} e^{-\rho_1 x} - \rho_2 e^{-\rho_2 x}) - \frac{\lambda}{\rho_2 - \rho_1} (e^{-\rho_1 x} - e^{-\rho_2 x}). \end{cases} \quad (60)$$

З (60) випливають оцінки (56) при  $m > m_* = 9$ ,  $\delta = \rho_1 \wedge \rho_2$  ( $\rho_1 \approx 2.4$ ,  $\rho_2 \approx 4.6$ ).

Порівнюючи (19) в теоремі 1 з результатами пропозиції, легко помітити, що за містю одного співвідношення (19) для  $m'(x)$  одержуються 3 різні співвідношення:

а) при  $D < 0$ ,  $m < m_*$  — (55); б) при  $D = 0$ ,  $m = m_* = 9$  — (58); в) при  $D > 0$ ,  $m > m_* = 9$  — (60).

**Зауваження 3.** Для немонотонних неперервних зверху (знизу)  $\xi(t)$  з  $\pm a > 0$  ситуація а) з комплексними коренями ніде не зустрічалась у задачах з ерланговим розподілом стрибків 2-го порядку в [5, див. приклади: 3.7, с. 125; 5.1, с. 268; 5.2, с. 285], а також в [7, див. задачі: 20.6; 20.9–20.10]. Там завжди корені рівняння  $k(u) = 0$  дійсні і визначають розподілі абсолютних екстремумів. Ситуація б) з кратним коренем там має місце у випадку  $m = 0$ ; тоді  $u_1 = u_2 = 0$  і  $P\{\xi^\pm = \pm\infty\} = 1$ . Це легко пояснити на такому прикладі.

**Приклад 2.** Нехай  $\xi(t)$  неперервний знизу процес з  $a = -1 < 0$ ,

$$\begin{aligned} \tilde{f}(u) &= \left( \frac{1}{1+u} \right)^2; & \Pi(x) &= \lambda(1+x)e^{-x}, \quad x > 0; & \tilde{\Pi}(u) &= \lambda \frac{2+u}{(1+u)^2}, \quad \lambda > 0; \\ P_2(u) &= u^2 + (2-\lambda)u + 1 - 2\lambda, & m &= 2\lambda - 1, & D &= \lambda(\lambda + 4) > 0. \end{aligned}$$

Отже незалежно від знаку  $m$  корені рівняння  $P_2(u) = 0$  — дійсні і різні. Зокрема при:

- а)  $\lambda = 0.1$ ;  $m = -0.8$ ;  $D = 0.41$  (корені від'ємні:  $u_{1,2} = -\rho_{1,2}$ , див. точкові криві на середньому і останньому графіках);
- б)  $\lambda = 0.5$ ;  $m = 0$ ,  $D = 2.25$  (один корінь  $u_0 = 0$  і  $u_1 = -1.5$  на середньому графіку);
- в)  $\lambda = 2$ ;  $m = 3$ ,  $D = 12$  (корені різного знаку  $\pm\sqrt{3}$  на суцільній параболі середнього графіку).

Такі ж корені і рівняння  $uP_2(u) = 0$  (вони співпадають із коренями рівняння Лундберга:  $k(u) = 0$ ). Зауважимо, що у випадку а)  $m < 0$   $\xi^+$  має невироджений розподіл

з генераторисою (23) і для неї встановлюється співвідношення подібне до (53) або (59)

$$\begin{aligned} \mathbb{E} e^{-u\xi^+} &= \frac{|m|(1+u)^2}{P_2(u)} = |m| \left( 1 + \lambda \frac{2+u}{P_2(u)} \right) \\ &= |m| \left[ 1 + \frac{\lambda}{\rho_2 - \rho_1} \left( \frac{2-\rho_1}{\rho_1+u} + \frac{\rho_2-2}{\rho_2+u} \right) \right], \quad p_+ = |m| \end{aligned} \quad (61)$$

(згідно з таблицею II в [5]  $p_+ = |m| \cdot |a|^{-1}$ ).

Після обернення (61) по  $u$  в термінах  $\rho_{1,2}$  визначається щільність розподілу  $\xi^+$

$$\frac{\partial}{\partial x} \mathbb{P}\{\xi^+ < x\} = \frac{|m|\lambda}{\rho_2 - \rho_1} [(2 - \rho_1)e^{-\rho_1 x} + (\rho_2 - 2)e^{-\rho_2 x}], \quad x > 0. \quad (62)$$

Нижче ілюструються графіки  $y = P_2(u)$  та  $y = uP_2(u)$ : 1) для монотонного  $\xi(t)$  (субординатора  $a = 1$ ) з прикладу 1); 2) для немонотонного  $\xi(t)$  ( $a = -1$ ) з прикладу 2).

1)  $y = P_2(u) = u^2 + (2 + \lambda)u + m$ ,  $m = 2\lambda + 1$ .

а)  $D = -4 < 0$ ,  $\lambda = 2$ ,  $m_1 = 5 < m_* = 9$ ;  $y_1 = P_2(u)|_{\lambda=2}$  — точковий графік;

б)  $D = 0$ ,  $\lambda = 4$ ,  $\delta_* = 3$ ,  $m_* = 9$ ;  $y_* = P_2(u)|_{\lambda=4}$  — пунктирний графік;

в)  $D = 5 > 0$ ,  $\lambda = 5$ ,  $m = 11 > m$ ,  $y_2 = P_2(u)|_{\lambda=5}$  — суцільний графік.

На 1-му графіку вузловою точкою для всіх кривих є вершина точкової параболи  $(-2; 1)$ .

2)  $y = P_2(u) = u^2 + (2 - \lambda)u - m$ ,  $m = 2\lambda - 1$ , ( $y = uP_2(u)$ )

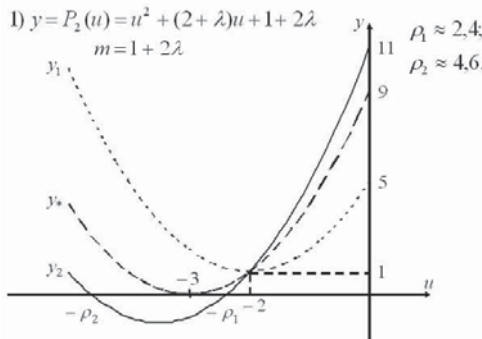
а)  $\lambda = 0.1$ ;  $D = 0.41$ ,  $m = -0$ ,  $8 < 0$ ;  $y_1 = P_2(u)$  ( $y_1 = uP_2(u)|_{\lambda=0.1}$ ) — точкові графіки;

б)  $\lambda = \frac{1}{2}$ ;  $m = 0$ ,  $y_0 = P_2(u)$  ( $y_0 = uP_2(u)|_{\lambda=0.5}$ ) — пунктирні графіки;

в)  $\lambda = 2$ ;  $m = 3 > 0$ ,  $y_2 = P_2(u)$  ( $y_2 = uP_2(u)|_{\lambda=2}$ ) — суцільні графіки.

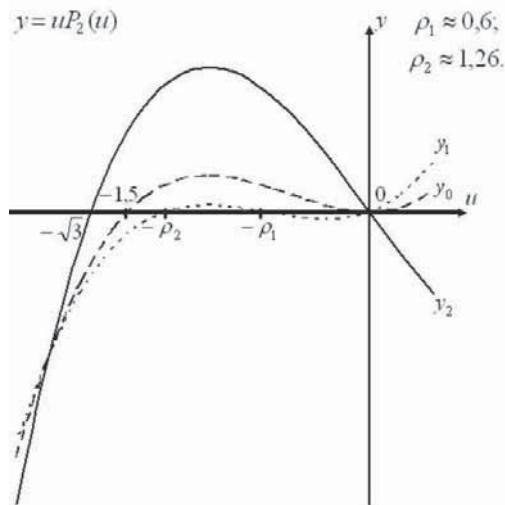
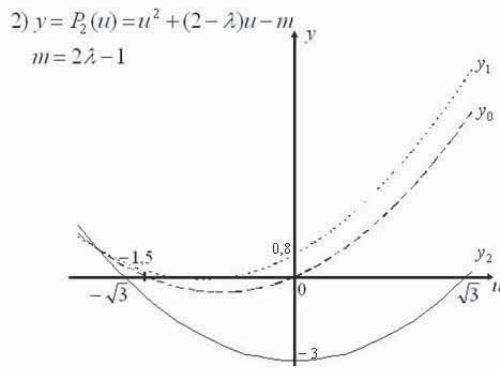
На останньому графіку всі криві мають спільну вузлову точку  $(0; 0)$ .

Приводом для написання даної статті послужило критичне зауваження в рецензії В. С. Королюка на нашу монографію [5] про відсутність аналізу функціоналів субординатора, розглянутих в [3, р. III]. Автор вдячний рецензенту за цінне зауваження.



## ЛІТЕРАТУРА

1. В. С. Королюк, *Границные задачи для сложных пуссоновских процессов*, “Наукова думка”, Київ, 1975.
2. А. А. Боровков, *Stochastic Processes in Queueing Theory*, Springer-Verlag, Berlin, 1976.
3. J. Bertoin, *Lévy Processes*, Cambridge University Press, Cambridge, 1996.
4. Д. В. Гусак, *Розподіл перестрибкових функціоналів напівнеперервного ожносторідного процесу з незалежними приростами*, Укр. мат. ж. **54** (2002), № 3, 303–322.
5. Д. В. Гусак, *Процеси з незалежними приростами в теорії ризику*, Праці Інституту математики НАНУ, Київ, 2011.



6. Н. С. Братийчук, Д. В. Гусак, *Границные задачи для процессов с независимыми приращениями*, "Наукова думка", Київ, 1990.
7. Д. В. Гусак, О. Г. Кукуш, О. М. Кулік, Ю. С. Мішура, А. Ю. Пилипенко, *Збірник задач з теорії випадкових процесів та їх застосувань*, ВІДП "Київський університет", Київ, 2008.
8. D. Gusak, A. Kukush, A. Kulik, Yu. Michura, A. Pilipenko, *Theory of Stochastic Processes. With applications to Financial Mathematics and Risk Theory*, Springer, New York–Dordrecht–Heidelberg–London, 2010.

252601, Київ-4, вул. Терещенківська, 3, Інститут математики НАН України  
Адреса електронної пошти: [random@imath.kiev.ua](mailto:random@imath.kiev.ua)

Надійшла 13/12/2011